

Abschnitt E

SEISMISCHE BEOBACHTUNGEN

Mikroseismische Aufzeichnungen in Wien 1966

Station: Wien - Hohe Warte
 $\varphi = 48^{\circ} 14.9' N$, $\lambda = 16^{\circ} 21.7' E$

Höhe ü. d. Meer = 198 m
Untergrund: Löß, darunter Lehm

Instrumente: Horizontalseismograph WIECHERT, 1000 kg (N, E)
Vertikalseismograph WIECHERT, 1300 kg (Z)
Nahbebenpendel nach CONRAD, 24 kg (Co)

Konstanten der WIECHERT-Pendel im Jahre 1966

Komponente	V	To	$\xi: 1$	$\xi r / To^2$
NS	165	8.8 ^s	4.0	0.002
EW	150	8.8	4.4	0.002
Z	200	2.25	3.4	0.008

Station: Wien - Kobenzl
 $\varphi = 48^{\circ} 15.9' N$, $\lambda = 16^{\circ} 19.1' E$

Höhe ü. d. Meer = 400 m
Untergrund: Sandstein

Instrumente: 3 Nahbebenpendel "STUTTGARTER Satz" (N' E' Z')

Die Auswertungen aller in Wien registrierten Erdbeben wurden in den "SEISMISCHEN AUFZEICHNUNGEN IN WIEN" fortlaufend publiziert. Die Ergebnisse der gut analysierbaren Bebenogramme sind wie in den vergangenen Jahren in nachfolgender Tabelle zusammengestellt.

Am Observatorium Wien - Kobenzl konnte nach Fertigstellung des neuen Seismik-Hauses der provisorische Registrierbetrieb mit dem STUTTGARTER Satz wieder aufgenommen werden, und zwar mit der Z'-Komponente am 11. Februar, mit der N'- und E'-Komponente endgültig am 24. März.

Seismische Aufzeichnungen in Wien 1966 (Auszug)

(BCIS = Bureau Central International de Séismologie, Strasbourg)
(USCGS = U. S. Coast and Geodetic Survey, Washington)

Datum 1966	Phase	Komponente	G. M. T. h m s	km	Bemerkungen
5. Februar	eiPn	E Z	02 04 10.0	1050	BCIS: 39.0°N, 21.9°E Thessalien, Griechenland H = 02 01 49
	i	E Z	04 19		
	iPgPg	N E Z	04 55		
	iPgPgPg	N E Z	05 00		
	i	N E Z	05 05		
	iSn	N E Z	06 03		
	iSgSg	N E Z	07 07		
	iSgSgSg	N E Z	07 17		
	i	N	07 22		
	i	Z	07 26		
	i	N E	07 32		
	M	N Z	08.9		
	M	E	09.0		
	7. Februar	eiP	N E Z+		
i!pP		N E Z	34 34		
isP		N E Z	34 40		
i		Z	34 49		
i		N E Z	35 49		
iPP		N E Z	35 59		
iPcP		N E Z	36 14		
ipPcP		N E Z	36 27		
eisPcP		N E Z	36 34		
iPPP		N E Z	36 50		
eiS		N E Z	41 02		
eiPS		Z	41 09		
eiPPS		N E Z	41 16		
eisS		N Z	41 28		
ei(SS)		N	44 13		
eiScS		N	44 34		
ei		N E	44 54		
ei		N	45 53		
M		N E	59		
M		Z	05 01		
					N: 10 ^s , 10 μ ; E: 10.5 ^s , 12 μ Z: 11.5 ^s

Datum 1966	Phase	Komponente	G. M. T. h m s	km	Bemerkungen			
16. Februar	iPKP	N E' Z Z'	03 37 53.5	15700	USCGS: 17.7° S, 167.9° E Neue Hebriden H = 03 18 27.2			
	i	N E E' Z'	38 01					
	ipPKP	Z Z'	38 04					
	isPKP	N E E' Z'	38 08					
	iPP	N E' Z Z'	41 01					
	ipPP	E E' Z'	41 11					
	isPP	Z'	41 15					
	iSKKS	N E	47 46					
	M	N E	04 40			N: 23 ^s , 36 μ ; E: 23 ^s , 27 μ		
2. März	eiP	N E Z Z'	02 41 48.8	2350	USCGS: 43.0° N, 45.8° E östlicher Kaukasus H = 02 37 02.3			
	ipP	Z'	41 56					
	i	Z'	42 04					
	iPP	N E Z Z'	42 12					
	iPPP	N E Z'	42 20					
	eS	Z	45 40					
	eisS	Z	45 51					
6. März	eiP	N E Z-	02 24 51.3	5600	Z'-Registrierung ausgefallen USCGS: 31.6° N, 80.5° E, Tibet H = 02 15 56.7			
	eipP	Z	25 01					
	eiPcP	N Z	26 07					
	iPP	N E	26 47					
	ipPP	N	26 58					
	eiS	N E	31 59					
	ei	N E	32 44					
	M	N E	46.5			N: 18 ^s , 49 μ ; E: 18 ^s , 56 μ		
	7. März	eiP	N E Z+			01 20 46.8	2250	Z'-Registrierung ausgefallen BCIS: 39.3° N, 41.6° E östliche Türkei H = 01 16 11
i		E Z	21 00					
iPP		N E Z	21 05					
iPPP		N E Z	21 14					
i		N	24 18					
eiS		N E	24 27					
iSS		N E	24 56					
iPcP		N E Z	25 04					
iPcS		N	28 40					
M		E	30.5	E: 10 ^s				
7. März		eiP	N E Z+	21 40 17.0	7600	USCGS: 37.2° N, 114.8° E Nordost-China H = 21 29 17.0		
	isP	N E Z	40 30					
	eiPP	E	42 49					
	eS	N E	49 14					
	M	N E	22 07	N: 12.5 ^s , 125 μ ; E: 13 ^s , 80 μ Z: 23 ^s , 182 μ				
	M	Z	14					
12. März	iP	N-N'E-E'Z+Z'	16 43 39.0	9000	USCGS: 24.1° N, 122.6° E, Formosa h = 63 km, H = 16 31 21.8			
	iPcP	N N' E	43 46					
	i(pP)	N' E'	43 51					
	iPP	E'	46 44					
	iS	N N' E E' Z'	53 55					
	i!	N N' E E' Z'	53 59					
	eiPKPPKS	Z'	17 13 34					
	M	N	15.5			N: 24 ^s , 1800 μ Z: 21.5 ^s , 405 μ		
	M	Z	31					
16. März	iPn	N' E' Z'	13 28 11.7	380	Epizentrum: 47.3° N, 11.4° E Innsbruck, Tirol I ₀ = 5° MS. F = 2650 km ² BCIS: 47.4° N, 11.5° E H = 13 27 16			
	iPb	N' E' Z'	28 22					
	iPg	N' E' Z'	28 27					
	iSn	N' E' Z'	28 49					
	i!Sb	E' Z'	29 06					
	i!Sg	N N' E E' Z	29 11					
	iSgSg	N N' E Z Z'	29 16					
	i	N' E E' Z'	29 22					
	iSgSgSg	N N' E	29 26					
	20. März	eP	Z Z'			01 51 28	5300	USCGS: 0.6° N, 30.2° E, Uganda H = 01 42 49.9
		i	N N' E E' Z Z'			51 35		
ipP		N' E' Z Z'	51 38					
isP		N'	51 44					
iPcP		Z Z'	52 56					
ipPcP		Z'	53 05					
isPcP		Z'	53 11					
iPP		N Z Z'	53 19					
ipPP		Z Z'	53 29					
iPPP		Z'	54 08					
iS		N E Z Z'	58 24					
iSP		Z'	58 31					
iSPP		Z'	58 35					
isS		Z'	58 42					
M		N Z	02 16.0	N: 14.5 ^s , 126 μ ; Z: 14.5 ^s , 132 μ E: 13.5 ^s , 79 μ				
M	E	17.5						

Datum 1966	Phase	Komponente	G. M. T. h m s	km	Bemerkungen		
22. März	eiP	N E Z Z'	08 30 32.0	7600	USCGS: 37.5°N, 115.1°E Nordost-China H = 08 19 33.8		
	ipP	N E Z Z'	30 39				
	eiPcP	N	30 56				
	i	N	32 57				
	iPP	N	33 04				
	eiS	N E	39 28				
	M	N	58				
	M	E	09 00				
	M	Z	02		N: 13 ^s , 430 μ E: 13 ^s , 175 μ Z: 16 ^s , 200 μ		
20. April	iP	N N' E E' Z Z'+	16 47 10.8	2550	BCIS: 41.8°N, 48.2°E Kaukasus beim Kaspisee H = 16 42 03		
	ipP	N E E' Z Z'	47 15				
	isP	N' E' Z Z'	47 19				
	iPP	N N' E Z Z'	47 41				
	ipPP	E E'	47 49				
	iPPP	N' Z Z'	47 51				
	i	N' Z'	50 53				
	iS	N N' Z'	51 20				
	isS	N E Z'	51 29				
	iSS	Z'	52 06				
	iLR	Z'	53 02				
	M	N E	17 02				
							N: 10 ^s , 6 μ ; E: 10 ^s , 8 μ
	23. April	eP	Z'			00 23 18	11200
eipP		E' Z'	23 28				
eisP		Z'	23 34				
iPP		N N' E E' Z Z'	27 29				
ipPP		N' E' Z'	27 39				
isPP		E' Z'	27 45				
i		Z'	28 19				
M		N	01 10				
M		E	19.5				
				N: 24 ^s , 35 μ E: 19 ^s , 15 μ			
27. April	eP	N' Z'	19 53 34	2350	E': Registrierung ausgefallen BCIS: 38.1°N, 42.6°E, Wan-See, östliche Türkei H = 19 48 51		
	ei	Z Z'	53 38				
	isP	N' Z'	53 43				
	iPP	N N' E Z'	53 58				
	iS	Z'	57 23				
	isS	Z'	57 32				
	eiPcP	Z Z'	57 42				
4. Mai	eiPn	Z Z'+	06 39 22.8	1050	BCIS: 39.2°N, 21.6°E Mittelgriechenland H = 06 37 01		
	i	N' Z Z'	39 32				
	ei(Pb)	N E	39 56				
	eiPgPg	N E'	40 10				
	i	E Z'	40 13				
	i	N' E'	40 38				
	i	E' Z'	41 07				
	eSn	N	41 12				
	i(Sb)	E'	41 56				
	iSgSg	N E	42 17				
	M	N E	43 55				
						N: 7.5 ^s , 7 μ ; E: 8 ^s , 15 μ	
	9. Mai	eiP	N E Z Z'+			00 46 33.8	1750
isP		N' E' Z'	46 46				
iPP		E E' Z Z'	46 47				
iPPP		E'	46 54				
i		N	49 52				
M		E Z	54.5				
M		N	55.9				
				E: 8.5 ^s , 29 μ ; Z: 8 ^s N: 7.5 ^s , 23 μ			
11. Mai	iP	N' E' Z+ Z'	14 29 31.0	8600	USCGS: 48.9°N, 156.2°E, Kurilen H = 14 17 34.1		
	ipP	N' Z'	29 37				
	isP	E' Z'	29 40				
	iPcP	N' E' Z Z'	29 44				
	ipPcP	N' E' Z'	29 49				
	iPP	E Z'	32 24				
	isPP	Z'	32 33				
	M	E	15 03				
	M	N	12				
						E: 18.5 ^s N: 12.5 ^s	
25. Mai	iPn	Z'+	09 08 59.0	920	N': Registrierung ausgefallen BCIS: 40.2°N, 19.7°E südliches Albanien h = 55km H = 09 06 57		
	iPb	Z Z'	09 24				
	i	E Z Z'	09 30				
	iPgPg	N Z'	09 38				
	iPgPgPg	Z'	09 42				
	eSn	N	10 38				
	eiSb	E'	11 13				
	eiSgSg	N	11 35				
	M	Z	12.2				
	M	N E	13.1				
						Z: 2.5 ^s N: 3.5 ^s ; E: 3.5 ^s	

Datum 1966	Phase	Komponente	G. M. T. h m s	km	Bemerkungen			
6. Juni	iP	N N' E E' Z Z'+	07 53 42.5	4550	BCIS: 36.5° N, 71.0° E, Hindukusch h = 200 km ca H = 07 46 15			
	i!pP	N' E' Z'	54 31					
	isP	N' E'	54 57					
	iPP	N N' Z Z'	55 26					
	iPcP	N'	55 37					
	iPPP	Z'	56 08					
	ipPcP	N Z Z'	56 26					
	isPcP	N'	56 50					
	ePcS	N Z	59 28					
	iS	N' E' Z'	59 41					
	isS	N'	08 01 05					
	eiSS	N'	02 46					
	iLR	Z'	05 27					
	7. Juni	iP	N' E Z Z'+			14 13 28.5	11300	USCGS: 11.3° N, 139.6° E, Karolinen H = 13 59 36.0
ipP		Z Z'	13 40					
isP		N N' E Z'	13 44					
eiPP		Z'	17 42					
ipPP		N N' E Z'	17 53					
e(SKS)		N E	24 08					
eiSKKS		N' Z'	24 28					
e(PS)		N E	26 38					
iPKKP		Z'	29 39					
eSS		N	32 10					
M		Z Z'	15 00					
M		N E	03					
10. Juni		eiPn	Z'	09 14 15.5	740	BCIS: 44.9° N, 24.9° E, Rumänien H = 09 12 44		
		ipb	E' Z	14 34				
	eiPgPg	N E	14 45					
	i	E Z Z'	15 10					
	iSn	Z'	15 35					
	iSb	N' Z'	15 58					
	iSg	N N' E Z'	16 08					
	iSgSg	N' Z'	16 12					
	13. Juni	ei	N N' Z Z'+	18 27 20.5			15200	USCGS: 12.2° S, 167.1° E Santa - Cruz - Inseln h = 259 km H = 18 08 38.4
i!PKP		N N' E' Z Z'	27 31					
ipPKP		Z Z'	28 34					
isPKP		Z'	28 55					
eSKP		E Z	30 35					
iPP		N' Z'	30 45					
iPKS		N N' Z Z'	31 04					
ipPP		Z'	31 45					
15. Juni	eiPKP	N N' E E' Z Z'	01 18 58.0	14700	USCGS: 10.4° S, 160.8° E Salomon - Inseln H = 00 59 45.8			
	ipPKP	N' Z'	19 08					
	isPKP	Z'	19 12					
	i	N' Z'	20 03					
	iPP	N' Z'	21 26					
	ipPP	Z'	21 36					
	iPKS	N' E Z Z'	22 28					
	M	N Z	02 14					
M	E	16						
15. Juni	eiPKP	N' Z'	01 52 04.2	14700	USCGS: 10.2° S, 161.1° E Salomon - Inseln H = 01 32 55.5			
	ipPKP	N' Z'	52 13					
	iPP	Z'	54 32					
	ipPP	Z'	54 41					
	iPKS	N'	55 36					
	M	N E Z	02 48					
19. Juni	ePn	E' Z	04 12 55	280	Z': Registrierung ausgefallen BCIS: 46.1° N, 14.2° E Raum Laibach, Jugoslawien H = 04 12 12 in Zell Pfarre, Südkärnten, wahr- genommen			
	ipb	Z	13 00					
	ipg	N N' E	13 03					
	i	N N'	13 08					
	iSn	N N' E E' Z	13 23					
	iSb	N N' E E' Z	13 30					
	i	N E Z	13 35					
	iSg	N N' E E'	13 38					
	iSgSg	N' E'	13 42					
	22. Juni	eP	Z'			20 42 30	12000	USCGS: 7.2° S, 124.6° E, Banda-See h = 507 km H = 20 29 03.6
		ei	Z Z'			42 36		
ipP		N Z Z'	44 29					
iPKP		E' Z'	46 39					
iPP		Z'	46 56					
i!		E' Z Z'	47 13					
ipPKP		Z'	48 38					
ipPP		N E Z'	48 52					
i!PKKP		Z'	58 11					

Datum 1966	Phase	Komponente	G. M. T. h m s	km	Bemerkungen
27. Juni	eiP	N N' E E' Z	10 50 17.5	5800	Z': Registrierung ausgefallen USCGS: 29.7° N, 80.9° E Grenze Indien - Nepal H = 10 41' 08.6
	ipP	N' Z	50 29		
	eisP	N'	50 33		
	eiPcP	N' E' Z	51 31		
	eipPcP	N'	51 42		
	eiPP	N' E' Z	52 23		
	epPP	Z	52 33		
	eiPPP	E	53 24		
eS	N E	57 40			
27. Juni	eP	N N' E' Z	11 08 27	5800	Z': Registrierung ausgefallen USCGS: 29.7° N, 81.0° E Grenze Indien - Nepal H = 10 59 18.1
	ipP	N N' E E' Z	08 38		
	iPcP	N' E'	09 40		
	ipPcP	N' E'	09 50		
	iPPP	N' E'	11 32		
	eScS	N	18 11		
	e	E	19 48		
	M	N	36.5		
	M	E	38.5		
1. Juli	iP	N N' - E E' - Z Z'	06 02 48.2	9100	USCGS: 24.8° N, 122.5° E, Formosa h = 117 km H = 05 50 39.2
	ePcP	E Z	02 53		
	i	N' E' Z'	03 06		
	eipP	N E	03 18		
	isP	E'	03 34		
	iPP	Z Z'	05 56		
	ePPP	Z	07 51		
	ei	Z	08 57		
	eS	N E	12 47		
	M	N E Z	36		
4. Juli	eiP	E Z Z'	18 45 45	8800	USCGS: 51.7° N, 179.9° E Ratten - Inseln, Aleuten H = 18 33 35.7
	ePcP	Z	45 53		
	iPP	N Z'	48 55		
	e	N E Z	49 06		
	ei	E	50 50		
	(e)SKS	E	55 (57)		
	eiPS	E' Z Z'	56 33		
	G	E	19 08		
	M	E	25		
	M	N	27		
			Minutenlücke E: 47 ^s E: 17.5 ^s , 50 ^μ N: 18.5 ^s , 39 ^μ		
1. August	eiP	Z'+	21 11 01.2	4800	N': Registrierung ausgefallen BCIS: 30.0° N, 68.5° E West - Pakistan H = 21 03 00
	ipP	E' Z'	11 12		
	i	E' Z'	11 22		
	eiPP	N Z'	12 44		
	iPcP	Z'	12 50		
	ipPP	Z'	12 55		
	iPcS	Z'	16 35		
	eS	E' Z'	17 26		
	iSS	Z'	20 21		
	e(ScS)	E	20 46		
	iSSS	N	21 07		
	M	N E Z	37.5		
6. August	eiPn	N N' Z'+	02 32 38.8	730	BCIS: 42.0° N, 18.9° E, Adria nahe der jugoslawischen Küste H = 02 31 07
	i	N N' Z'	32 47		
	ipb	N N' Z'	32 57		
	iPg	N Z'	33 06		
	iPgPg	N' E' Z Z'	33 08		
	iPgPgPg	N N'	33 13		
	i	N' Z'	33 37		
	i	N' Z'	33 45		
	i	N' E' Z'	33 52		
	iSn	N' E' Z Z'	34 02		
	i	N' E' Z'	34 34		
	iSg	E E' Z'	34 39		
	i!SgSg	N N' Z'	34 44		
	iSgSgSg	N' Z Z'	34 54		
	M	E Z	35.0		
16. August	iP	N N' E' Z Z'+	02 23 46.8	4500	USCGS: 36.4° N, 70.8° E, Hindukusch h = 199 km H = 02 16 19.7
	ipP	Z'	24 35		
	iPP	N' Z Z'	25 25		
	iPcP	N' E' Z'	25 40		
	eiPPP	Z'	25 55		
	ipPP	Z'	26 08		
	epPcP	E	26 27		
	iPcS	N' Z'	29 11		

Datum 1966	Phase	Komponente	G. M. T. h m s	km	Bemerkungen
16. August	eiPn	N N' E' Z'+	03 55 44.8	950	BCIS: 39.8° N, 19.9° E Küste Albaniens H = 03 53 38
	iPb	Z'	56 09		
	iPgPg	N Z'	56 23		
	iPgPgPg	N' Z'	56 28		
	iSn	Z'	57 24		
	i	Z'	57 41		
	i	Z'	58 09		
	iSgSg	N' Z'	58 22		
	eiSgSgSg	N' E' Z'	58 31		
19. August	iP	N N' E' Z'+	12 26 45.8	2300	BCIS: 39.2° N, 41.5° E, Ost - Türkei Raum Erzerum - Musch H = 12 22 13
	i	N' E E' Z'	26 53		
	isP	E' Z Z'	27 00		
	iPP	N E E'	27 09		
	iPPP	N N' E E'	27 18		
	iS	N E	30 29		
	isS	N E	30 44		
	i!PcP	N' E E' Z'	30 55		
	iSS	N N' E' Z'	31 01		
	isPcP	Z'	31 10		
	iSSS	N	31 15		
	M	E	36.6		
	M	N Z	37.0		
	20. August	eiP	Z Z'		
i		N E Z'	03 45		
isP		N' Z'	03 53		
iPP		N' E' Z'	04 01		
iPPP		N' E Z'	04 09		
isPP		Z'	04 14		
i		N' E'	04 17		
i		Z Z'	04 20		
isS		N	07 38		
M	N E	13.3	N: 7.5 ^s , 23 ^μ ; E: 9 ^s , 28 ^μ		
20. August	iPn	N' E' Z'	12 06 40.5	680	durch vorheriges Beben gestört BCIS: 42.3° N, 18.9° E Montenegro, Jugoslawien H = 12 05 13
	iPb	N'	06 54		
	iPg	N' E' Z	07 06		
	iPgPg	N' Z'	07 08		
	i!	N E	07 45		
	iSn	N' E' Z'	07 55		
	iSb	N' Z'	08 17		
	iSg	N' Z'	08 26		
	iSgSgSg	N' Z Z'	08 41		
	M	N E Z	09.5		
20. August	iPn	N' Z'-	19 09 56.8	680	BCIS: 42.3° N, 18.9° E Montenegro, Jugoslawien H = 19 08 26
	iPb	N N'	10 11		
	iPg	N' Z'	10 19		
	iPgPg	E' Z'	10 22		
	iPgPgPg	N' Z'	10 26		
	iSn	N' E' Z'	11 12		
	iSb	N' E' Z'	11 34		
	iSg	N' E' Z Z'	11 43		
	iSgSg	N' E' Z Z'	11 47		
	iSgSgSg	Z'	11 55		
21. August	eiPn	N N' Z'	01 33 23.2	1250	BCIS: 40.3° N, 27.6° E NW - Anatolien, Türkei H = 01 30 43
	i	Z'	33 35		
	iPb	N' Z'	33 52		
	iPgPg	Z'	34 16		
	iPgPgPg	Z	34 19		
	iSn	N' E' Z'	35 30		
	i	N' Z'	35 48		
	i(Sb)	Z'	36 09		
	iSg	Z'	36 38		
	iSgSg	N' E' Z'	36 42		
	i	N E	36 49		
iSgSgSg	N' E' Z'	36 52			
28. August	eiPn	Z'+	04 19 44.0	710	N E Z: schwach BCIS: 42.1° N, 19.0° E, Jugoslawien Küste von Montenegro H = 04 18 09
	iPb	N' Z'	19 58		
	iPgPg	E' Z'	20 11		
	iPgPgPg	N' E' Z'	20 15		
	i	N' E' Z'	20 42		
	iSn	N' Z'	20 58		
	iSb	N' Z'	21 21		
	i	E Z'	21 26		
	iSg	E' Z'	21 32		

Datum 1966	Phase	Komponente	G. M. T. h m s	km	Bemerkungen			
1. September	eiPn	Z'+	14 25 42.2	1270	BCIS: 37.4° N, 22.1° E Peloponnes, Griechenland H = 14 22 54			
	i	N E Z	25 50					
	i!	Z Z'	26 11					
	iPgPg	E' Z'	26 39					
	iPgPgPg	N' E Z'	26 43					
	i	N' Z'	27 24					
	iSn	Z'	27 47					
	i	E Z Z'	28 02					
	i	N E	28 15					
	i	N E	28 49					
	iSgSg	N' Z'	29 09					
	iSgSgSg	N'	29 17					
	M	N E	31.5			N: 6.5 ^s , 20 μ ; E: 8.2 ^s , 29 μ		
8. September	eiP	E' Z Z'+	21 29 41.2	11450	USCGS: 2.4° N, 128.4° E Halmahera, Molukken h = 96 km H = 21 15 52.8 M = 7			
	i	Z'	29 57					
	ipP	N Z'	30 02					
	isP	Z'	30 09					
	iPP	Z Z'	33 58					
	ipPP	E' Z'	34 17					
	isPP	Z'	34 24					
	i!PPP	N Z Z'	36 06					
	ipPPP	Z'	36 27					
	isPPP	Z'	36 33					
	iSKS	N' Z'	40 16			durch nachfolgendes Beben gestört		
	18. September	i!P	N' E' Z+ Z'			20 50 52.2	3850	BCIS: 27.8° N, 54.3° E bei Lar, Süd - Iran H = 20 43 58
		ipP	N' Z'			51 06		
iPP		N E Z'	52 08					
eiPPP		Z'	52 26					
iPcP		Z'	53 25					
eS		Z'	56 17					
eiScP		Z'	57 04					
iPcS		Z'	57 12					
28. September	iP	N Z Z'+	14 11 09.8	7350	USCGS: 27.4° N, 100.1° E Yunnan, China H = 14 00 22.9			
	i	N' E E' Z'-	11 11.8					
	ei	N' E' Z'	11 16					
	iPcP	E E' Z'	11 42					
	ipPcP	Z'	11 52					
	isPcP	Z'	11 57					
	iPPP	E Z'	15 13					
	isPPP	E	15 27					
	iPcS	Z'	15 44					
	eS	E	19 59					
	eScS	E	21 06					
2. Oktober	iPn	N' E' Z Z'-	11 23 31.8	840	BCIS: 45.8° N, 26.7° E Vranceagebirge, Rumänien h = 140 km H = 11 21 45			
	i	Z Z'	23 37					
	iPP	Z'	23 40					
	i	N N' E	23 42					
	iPPP	N' Z Z'	23 46					
	isP	N' Z'	24 01					
	iSn	N' Z'	24 57					
	i	E Z Z'	25 55					
17. Oktober	iP	N' E Z Z'+	21 55 45.5	11350	USCGS: 10.7° S, 78.7° W Küste von Peru H = 21 41 56.3 M = 7 1/2			
	ipP	Z'	55 55					
	isP	Z'	55 59					
	iPP	N N' E Z'	59 59					
	ipPP	Z'	22 00 09					
	isPP	Z'	00 12					
	iPPP	Z'	02 12					
	ipPPP	Z'	02 22					
	isPPP	Z'	02 26					
	iPS	Z'	08 59					
	eiPPS	Z'	09 53					
	eiPKPPKP	Z'	20 14					
	LR	Z'	30.5					
	M	N N' E E' Z	44.2			N: 18 ^s , 380 μ ; E: 18 ^s , 537 μ ; Z: 18 ^s , 680 μ		
19. Oktober	iP	Z Z'+	08 11 15.5	6300	USCGS: 1.6° S, 15.5° W, Atlantik nördlich der Insel Ascension H = 08 11 33.8			
	ipP	Z'	11 24					
	isP	Z'	11 28					
	iPcP	Z Z'	12 11					
	eipPcP	E' Z'	12 20					
	iPP	E' Z Z'	13 24					
	eipPP	Z'	13 33					
	isPP	E' Z'	13 37					
	iPPP	N Z Z'	14 41					

Datum 1966	Phase	Komponente	G. M. T. h m s	km	Bemerkungen
zu 19. Oktober	iPcS	E Z'	08 16 12		
	iPS	Z	19 17		
	iPPS	N Z'	19 25		
	e(ScS)	N	21 12		
	LQ	N	25.2		
	M	N E	38.2		N: 12 ^s , 66 μ ; E: 13 ^s , 77 μ
27. Oktober	i!P	N- N' E- E' Z+ Z'	06 04 13.5	3370	BCIS: 73.5° N, 53.5° E
	iPP	N' E' Z'	05 15		Nowaja Semlja
	iPPP	E Z Z'	05 29		H = 05 58 00
	i	N E Z	05 49		bisher stärkste unterirdische
	iPcP	Z Z'	07 12		Explosion (M = 6 1/2)
	iS	E' Z'	09 13		
	iSS	N' Z'	10 50		
	iPcS	N' Z'	10 57		
	iLR	E Z'	12 18		
	iScS	E Z'	14 51		
M	N E	18.7		N: 9 ^s , 24 μ ; E: 9 ^s , 26 μ	
29. Oktober	eiPn	N' Z- Z'	02 41 49.6	1080	BCIS: 38.9° N, 21.0° E
	iPgPg	Z'	42 39		Mittelgriechenland
	iSn	N' E' Z'	43 38		H = 02 39 25
	iSgSg	N' E' Z'	44 46		
	iSgSgSg	Z'	44 54		
	M	N E Z Co	46.5		
11. November	iPn	N N' E' Z+ Z'	16 16 57.8	310	BCIS: 45.5° N, 15.9° E
	iPb	N' E Z'	17 04		Kroatien, Jugoslawien
	iPg	N' E' Z'	17 07		H = 16 16 15
	iPgPg	N' Z Z'	17 10		
	i	N' Z'	17 25		
	iSn	N' E Z Z'	17 29		
	i	N E' Z'	17 32		
	iSb	N' E' Z'	17 40		
	iSg	E' Z Z'	17 45		
	i!SgSg	N'	17 49		
28. Dezember	eiP	N N' Z Z'+	08 32 23.5	11900	USCGS: 25.5° S, 70.7° W
	ipP	Z'	32 36		in Küstennähe von Nord - Chile
	i	N Z'	35 58		h = 47 km H = 08 18 07.4
	iPKP	E	36 28		M = 7 1/2
	eiPP	N' E' Z Z'	36 47		
	i!	E Z'	36 55		
	ipPP	Z'	37 00		
	isPP	N' Z'	37 05		
	iPPP	Z'	39 00		
	eiSP	Z'	46 07		
	i!PS	E Z'	46 11		E: 12 ^s , 85 μ
	iPKKP	Z Z'	47 54		
	iPKKP	Z Z'	48 11		
	iPKKS	N	51 35		
	iSS	Z'	52 09		
	eiPKPPKP	Z'	56 14		
	G	N	09 04		N: 52 ^s
	M	N E	16		N: 21.5 ^s , 303 μ ; E: 24.5 ^s , 523 μ
	M	E Z	20		E: 19.5 ^s , 356 μ ; Z: 20 ^s , 353 μ
	M	N	21		N: 20 ^s , 315 μ
31. Dezember	iPKP	N N' E Z'	18 42 25.0	15300	USCGS: 11.8° S, 166.5° E
	eipPKP	Z'	42 39		Santa - Cruz - Inseln
	isPKP	Z Z'	42 44		H = 18 23 03.9
	iPP	Z Z'	45 09		M = 7 1/2
	ipPP	N' Z'	45 22		
	iPKS	E' Z'	45 50		
	iPPP	Z'	48 10		
	eiSKS	Z'	49 35		
	ePS	E	55 34		
	eSS	E	19 03 24		
	iSSS	N	08 33		
	LQ	N E	20		
	M	N Z	41		N: 22.5 ^s , 451 μ ; Z: 23.5 ^s , 425 μ
	M	E	42		E: 21.5 ^s , 387 μ
	M	N	48		N: 19 ^s , 407 μ

Makroseismische Beobachtungen 1966

Nr.	Datum 1966	MEZ. h m	Land	H e r d g e b i e t	Intensität °M. S.	F km ²	Meldungen		B e m e r k u n g e n
							+	-	
1	7. 3.	22 22	St	östlich von Unzmarkt	4,5	2300			
zu 1	8. 3.	7 00	St	bei Unzmarkt	3,5	450)	34	25	
2	16. 3.	14 27	Ti	Innsbruck - West	5	2700	91	24	dazu telefonische Berichte; Nb. 14.32 h und 16.52 h
3	25. 4.	22 39	NÖ	Spitz an der Donau	5	810	31	19	
-	26. 5.	(9 00)	Kä	St. Lorenzen, Lesachtal	3		1	0	
4	3. 6.	4 16	Ti	Barwies, Mieminger Plateau	4,5	380	16	16	
5	19. 6.	5 12	YU	westlich von Laibach	4*	150*	3	12	
6	11. 7.	17 15	Ti	Barwies, Mieminger Plateau	4,5	170	5	4	
7	2. 8.	21 15	St	St. Michael bei Leoben	4	120	4	8	
8	3. 8.	12 40	NÖ	Wiener Neustadt	4	klein	3	20	
9	22. 8.	4 42	NÖ	St. Aegydt am Neuwalde	4	klein	2	13	
10	9. 9.	13 25	NÖ	Reichenau an der Rax	4	120	4	13	
11	3. 10.	21 27	Sa	Filzmoos bei Radstadt	4,5	490	13	10	Nb. 22.15 h (F = 150 km ²) und weitere bis 4. 10. 0.30 h
zu 11	11. 10.	4 30	Sa	bei Radstadt	4	510	17	9	
12	4. 11.	18 33	Ti	▲ Bettelwurfspitze, Karwendel	4	400	8	18	
13	23. 11.	11 50	Vo	Götzis, Rheintal	4	klein	4	7	
14	18. 12.	2 44	NÖ	Zillingdorf bei Wiener Neustadt	3	klein	3	6	

Verzeichnis der in der Tabelle verwendeten Abkürzungen

F = makroseismische Fläche	Nb. = Nachbeben	Ti = Tirol
Kä = Kärnten	NÖ = Niederösterreich	Vo = Vorarlberg
MEZ. = Mitteleuropäische Zeit	Sa = Salzburg	YU = Jugoslawien
M. S. = Mercalli - Sieberg Skala	St = Steiermark	* = innerhalb Österreich

Die Zentralanstalt für Meteorologie und Geodynamik hat im Jahre 1966 über Erdbebenfälle 239 verwertbare Wahrnehmungsberichte und 204 Fehlanzeigen, zusammen also 443 schriftliche Meldungen, erhalten; dazu kommt noch eine Anzahl telefonischer Mitteilungen, die vor allem auf das Innsbrucker Beben vom 16. März Bezug nehmen. Viele positive und sämtliche negative Meldungen wurden erst über schriftliche Anfrage in den aktuellen Bebengebieten abgegeben. Das Ergebnis der Bearbeitung des Beobachtungsmaterials 1966 ist in obiger Tabelle zusammengestellt. Von den hierin angeführten Erdbeben sind 14 Bebenereignisse als voneinander unabhängig anzusehen, die restlichen als Nachbeben oder als nicht sicher verbürgt.

Das Erdbeben in Krain am 19. Juni ($I_0 = 4,5^\circ$ M. S.) war nur in der Kärntner Grenzgemeinde Zell fühlbar; aus allen anderen Orten, die befragt wurden, kamen Negativmeldungen. - Da der Bericht über die Bebenwahrnehmung im Lesachtal am 26. Mai ungenau abgefaßt war und verspätet abgegeben wurde, konnte die wahrscheinliche Zugehörigkeit zu dem Erdbeben in den Venetianer Alpen (BCIS: H = 08 11 04 GMT.) nicht mehr festgestellt werden.

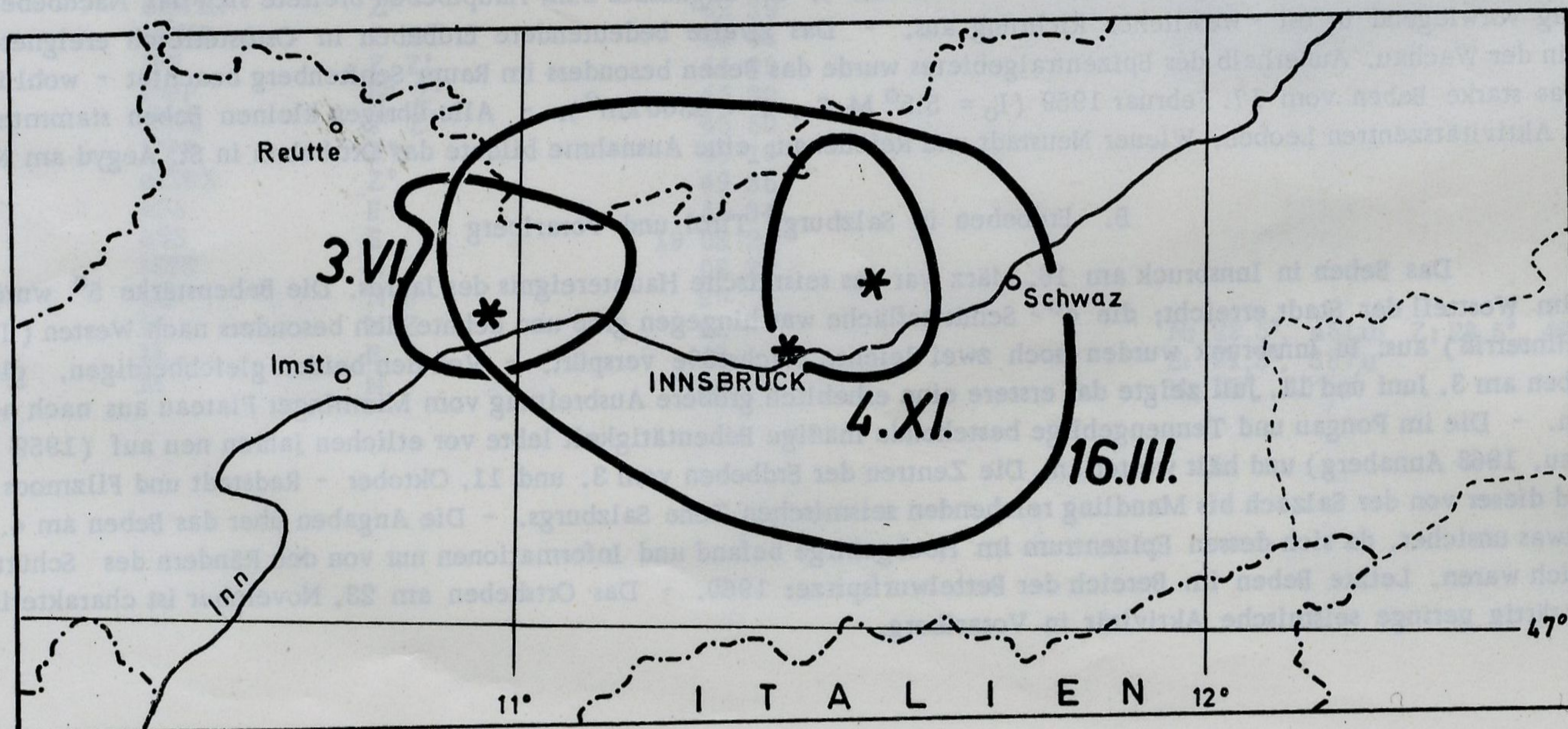
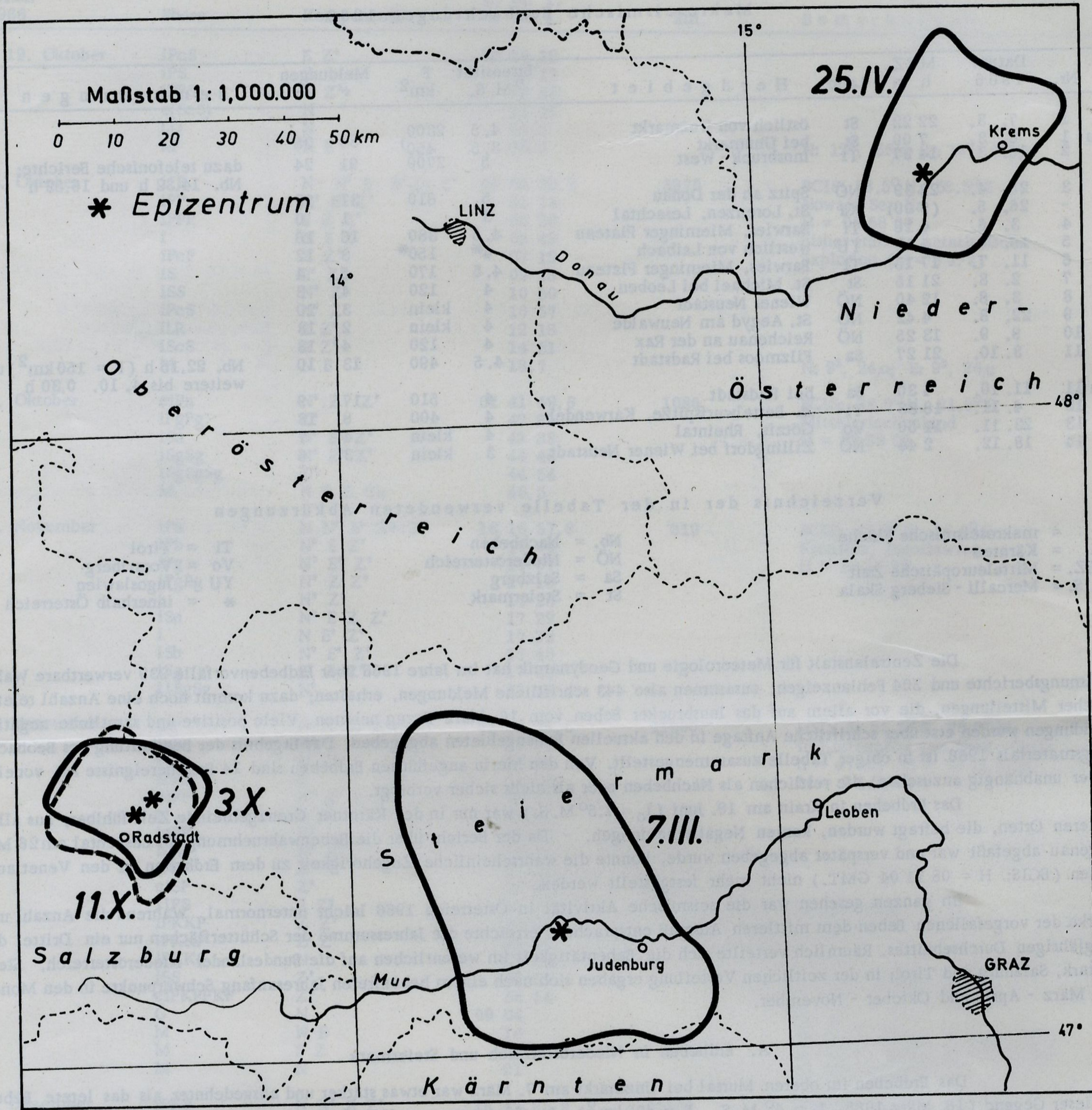
Im ganzen gesehen war die seismische Aktivität in Österreich 1966 leicht unternormal. Während die Anzahl und Stärke der vorgefallenen Beben dem mittleren Ausmaß entsprachen, erreichte die Jahressumme der Schütterflächen nur ein Drittel des langjährigen Durchschnittes. Räumlich verteilte sich die Bebenstätigkeit im wesentlichen auf die Bundesländer Niederösterreich, Steiermark, Salzburg und Tirol; in der zeitlichen Verteilung ergaben sich nach einem bebenfreien Jahresanfang Schwerpunkte in den Monaten März - April und Oktober - November.

A. Erdbeben in Niederösterreich und Steiermark

Das Erdbeben im oberen Murtal bei Unzmarkt am 7. März war etwas stärker und ausgedehnter als das letzte Beben in dieser Gegend (16. März 1965, $I_0 = 4^\circ$ M. S., $F = 420$ km²). Im Gegensatz zum Hauptbeben breitete sich das Nachbeben am folgenden Tag vorwiegend in ost - westlicher Richtung aus. - Das zweite bedeutendere Erdbeben in Ostösterreich ereignete sich am 25. April in der Wachau. Außerhalb des Epizentralgebietes wurde das Beben besonders im Raum Senftenberg beachtet - wohl in Erinnerung an das starke Beben vom 17. Februar 1959 ($I_0 = 5,5^\circ$ M. S., $F = 4300$ km²). - Alle übrigen kleinen Beben stammten aus den bekannten Aktivitätszentren Leoben, Wiener Neustadt und Reichenau; eine Ausnahme bildete das Ortsbeben in St. Aegydt am Neuwalde.

B. Erdbeben in Salzburg, Tirol und Vorarlberg

Das Beben in Innsbruck am 16. März war das seismische Hauptereignis des Jahres. Die Bebenstärke 5° wurde allerdings nur im Westteil der Stadt erreicht; die 4° - Schütterfläche war hingegen groß und dehnte sich besonders nach Westen (Telfs) und Norden (Hinterriß) aus. In Innsbruck wurden noch zwei leichte Nachstöße verspürt. - Von den beiden gleichherdigen, gleichstarken Erdbeben am 3. Juni und 11. Juli zeigte das erstere eine erheblich größere Ausbreitung vom Mieminger Plateau aus nach nördlichen Richtungen. - Die im Pongau und Tennengebirge bestehende mäßige Bebenstätigkeit lebte vor etlichen Jahren neu auf (1959 Abtenau, 1961 Hütttau, 1963 Annaberg) und hält weiter an. Die Zentren der Erdbeben vom 3. und 11. Oktober - Radstadt und Filzmoos - lagen am Ostrand dieser von der Salzach bis Mandling reichenden seismischen Zone Salzburgs. - Die Angaben über das Beben am 4. November sind etwas unsicher, da sich dessen Epizentrum im Hochgebirge befand und Informationen nur von den Rändern des Schüttergebietes erhältlich waren. Letzte Beben im Bereich der Bettelwurfspitze: 1960. - Das Ortsbeben am 23. November ist charakteristisch für die gegenwärtig geringe seismische Aktivität in Vorarlberg.



A b s c h n i t t F

ERGEBNISSE DER MAGNETISCHEN BEOBACHTUNGEN
AM GEOPHYSIKALISCHEN OBSERVATORIUM KOBENZL 1966

Die folgende Tabelle 1 enthält die Monatsmittel und die auf den Anfang und die Mitte des Jahres 1966 bezogenen Jahresmittel der erdmagnetischen Elemente und Komponenten. Es bedeutet D die Deklination (positiv gezählt als östliche Abweichung der Magnetnadel vom astronomischen Meridian), H die Horizontalintensität, I die Inklination (als positiv zu zählen, wenn das Nordende der Magnetnadel unter den Horizont geneigt ist), X die in den Meridian fallende Komponente des Feldes (positive Werte gegen Nord wachsend), Y die in die Richtung des Breitenkreises fallende Komponente (positive Werte gegen Ost wachsend), Z die Vertikalintensität (positive Werte nach unten wachsend) und T die Totalintensität, d. h. den Betrag des erdmagnetischen Feldvektors. Zwischen den hier angeführten Größen bestehen eine Reihe von Beziehungen, von denen die wichtigsten hier folgen:

$$X = H \cdot \cos D, \quad Y = H \cdot \sin D, \quad \operatorname{tg} I = Z/H, \quad T = H/\cos I.$$

Die Tabelle 2 enthält die Charakterzahlen für jeden Tag des Jahres, die einen ersten Überblick über den jeweiligen Zustand des erdmagnetischen Feldes an der Beobachtungsstation geben (0 = ruhig, 1 = bewegt, 2 = gestört). Stundenwerte für D, H, Z und genauere Auswertungsergebnisse sind im Jahrgang 1966 der Erdmagnetischen Berichte (Publikation Nr. 172) enthalten.

Tabelle 1

1966	D	H	I	X	Y	Z	T
Januar	-0° 12'0	20 591.7	64° 10'1	20 591.7	- 72.7	42 536.7	47 258.7
Februar	12'2	590	10'2	590	73	537	258
März	11'8	586	10'7	586	71	542	261
April	11'8	594	10'1	594	71	540	263
Mai	11'8	595	10'0	595	71	539	263
Juni	11'6	598	10'0	598	69	544	268
Juli	11'4	595	10'2	595	68	545	268
August	10'9	594	10'2	594	65	546	269
September	9'9	578	11'7	578	59	559	273
Oktober	10'5	589	10'8	589	63	554	274
November	10'5	593	10'6	593	63	554	275
Dezember	10'1	591	10'8	591	61	556	276
1966.0	-0° 12'46	20 590.0	64° 10'20	20 589.9	- 74.6	42 535.5	47 256.9
1966.5	-0° 11'21	20 591.3	64° 10'45	20 591.2	-67.1	42 546.1	47 267.0

Tabelle 2

Monat / Tag	1. - 5.	6. - 10.	11. - 15.	16. - 20.	21. - 25.	26. - 31.	Summe
Januar	0 1 0 1 0	0 1 0 1 0	0 0 0 0 0	0 0 0 0 1	1 1 1 1 1	1 0 1 0 0 0	12
Februar	0 0 1 1 1	0 0 0 0 0	1 0 0 0 0	0 0 0 1 1	0 1 1 1 1	0 0 0	10
März	0 0 1 1 0	0 0 0 0 1	0 0 1 2 0	0 1 0 1 1	1 1 2 0 1	1 1 1 1 0 0	18
April	1 1 0 0 0	0 1 1 0 0	0 0 1 1 0	0 0 0 0 1	0 1 1 0 0	0 0 0 0 1	10
Mai	1 1 0 1 0	0 0 1 0 0	1 1 1 0 0	0 0 0 0 1	0 0 0 0 0	2 0 0 0 1 2	13
Juni	1 1 1 0 1	0 1 0 0 0	0 1 0 0 1	1 0 0 1 0	0 0 1 1 1	1 0 1 0 0	14
Juli	0 0 0 1 0	0 0 1 1 1	1 1 0 0 1	0 1 0 0 0	1 0 0 0 0	0 1 1 0 0 0	11
August	0 0 1 1 1	0 0 1 1 1	1 1 0 1 0	0 0 1 1 0	0 0 1 1 1	0 0 0 1 2 1	18
September	1 1 2 2 1	1 1 1 1 1	0 0 0 1 0	1 0 0 1 1	1 0 1 1 1	1 1 1 1 1	25
Oktober	0 0 0 1 2	1 1 0 1 0	0 1 0 0 1	1 0 0 0 0	0 0 0 1 1	1 0 0 0 1 2	15
November	1 1 1 1 1	0 0 1 0 1	0 1 1 0 0	0 1 1 1 1	0 0 0 0 0	1 0 1 1 1	17
Dezember	1 0 0 1 1	0 0 0 0 0	0 0 1 2 1	1 1 0 0 1	1 1 1 1 1	1 1 1 0 0 0	18